

مقایسه ساختار و فراساختار فولیکول های مو و پر

احمد قارزی

دریافت: ۱۳۹۱/۱۱/۱۵ / پذیرش: ۱۳۹۲/۹/۲۴

گروه زیست‌شناسی، دانشکده علوم، دانشگاه لرستان، خرم‌آباد، ایمیل: ahgharzi@yahoo.com

چکیده. طرز تشکیل فولیکول پر و فولیکول مو در مرحله جنینی تقریباً مشابه است. هدف تحقیق حاضر بررسی شباهت‌ها و تفاوت‌های ساختاری این دو نوع فولیکول در موش‌های صحرایی و کبوترهای بالغ است. برای این منظور، پس از خارج کردن فولیکول‌ها، آنها را برای بررسی با میکروسکوپ نوری و الکترونی آماده کردیم. نتایج این تحقیق نشان داد که این دو نوع فولیکول از نظر داشتن پایپلای درمی و ماتریکس اپیدرمی مشابه هستند. همچنین نحوه تولید رشته مو و پر در آنها تقریباً یکسان است. اما برخلاف فولیکول مو، در بخش بالای پایپلای درمی فولیکول پر یک بخش متمایز به نام پولپ وجود دارد. در مرکز این پولپ و همچنین پایپلای درمی یک رگ خونی قرار دارد که نظیر آن در فولیکول مو دیده نمی‌شود. یکی دیگر از تفاوت‌های مشاهده شده به ضعیمت غشای پایه‌ای مربوط می‌شود که در مرز ماتریکس اپیدرمی و پایپلای درمی وجود دارد و در فولیکول پر نسبت به فولیکول مو از ضعیامت بسیار بیشتری برخوردار است. همچنین در قاعده فولیکول پر جمعیت مشخصی از سلول‌های شبه بنیادی دیده می‌شود که نظیر آن در فولیکول مو مشاهده نشد. با توجه به نتایج به نظر می‌رسد که پر در پرنده‌گان و مو در پستانداران برای اهداف زیستی مختلفی سازگاری یافته‌اند.

واژه‌های کلیدی: پایپلای درمی، ماتریکس اپیدرمی، سلول‌های بنیادی اپیدرمی، پولپ

Structural and ultrastructural comparison of hair and feather follicles

Ahmad Gharzi

Received 06.03.2013 / Accepted 15.12.2013

Department of Biology, Faculty of Science, Lorestan University, Khorramabad, Iran
Email: ahgharzi@yahoo.com

Abstract. Formations of feather and hair follicles during embryonic stage are nearly similar. The aim of the present research is to study the similarities and differences between these two follicles in adult pigeons and rats. To fulfill this task, feather and hair follicles were dissected and processed for light and electron microscopy. The results demonstrated that these two follicles were similar in having dermal papilla and epidermal matrix. Moreover, the production of feather fibers and hair in them, respectively, is almost similar. However, unlike the hair follicle, the feather follicle has a distinct compartment, called the pulp at the top of the papilla. At the center of this pulp and dermal papilla a blood vessel exists, a character never observed in the hair follicle. Another difference between the two related to the thickness of the basement membrane exists at the interface between the papilla and epidermal matrix which in feather follicle is much thicker than its hair equivalent. In addition, at the base of feather follicle there is a distinct population of stem-like cells which could not be distinguished in the hair follicle. Based on the results obtained in this study, it seems that the feathers in birds and the hairs in mammals have been adapted for different biological tasks.

Keywords. dermal papilla, epidermal matrix, epidermal stem cell, pulp

مقدمه

با وجود منشأ تکاملی متفاوت، وجود وقایع مشابه در دوره جنینی باعث شده است که این دو ساختار پوستی در حیوان بالغ آناتومی و بافت‌شناسی نسبتاً مشابهی را به نمایش بگذارند. مطالعات متعددی دربارب ساختار آناتومیکی و میکروسکوپی این دو فولیکول انجام گرفته است (Yu et al., 2004). این مطالعات سازمان‌دهی کلی این فولیکول‌ها و مولکول‌های درگیر در اتفاقات داخل سلولی و بین‌سلولی را تاحدودی در آها روشن کرده است. فولیکول‌ها ساختارهای استوانه‌ای شکل در پوست هستند که ضمین تولید پر و مو آنها را محکم در درون درم قرار می‌گیرد توده‌ای سلول مزانشیمی به نام پاپیلای درمی وجود دارد که با ارسال پیام‌هایی سلول‌های اپiderمی پیرامون خود را که سلول‌های ماتریکس نامیده می‌شوند وادر به تکثیر می‌کنند (Jiang et al., 2011). همچنان که سلول‌های به دست آمده از تکثیر به طرف بالا حرکت می‌کنند تمایز می‌یابند و به پر یا مو تبدیل می‌شوند. بنابر مطالعات انجام شده درباره هردوی این فولیکول‌ها، سلول‌های پاپیلای درمی برای ترمیم دوره‌ای پر و مو حیاتی هستند. عقیده بر این است که هردو فولیکول پر و مو واجد مخزنی از سلول‌های بنیادی اپiderمی هستند که نه تنها سلول‌های لازم برای رشد پر یا مو را تأمین می‌کنند، بلکه در فراهم آوردن سلول‌های اپiderمی برای اپiderم پوست در جریان رشد و ترمیم آن (Yu et al., 2002; Talor et al., 2002; Lin et al., 2013; Yue et al., 2005; Morris et al., 2004) از نظر موقعیت قرار گیری این سلول‌های بنیادی اپiderمی و ملاتنوسيت‌ها در این دو فولیکول تفاوت‌هایی وجود دارد (Lin et al., 2013; Yue et al., 2005; Mackenzie, 1994).

بدن مهره‌داران با فلس، پر یا مو (خر) پوشیده می‌شود. مقایسه تشابهات و تفاوت‌های این ضمائم پوستی سبب می‌شود اطلاعاتی دربارب منشأ جنینی آنها و نیز چگونگی تکامل آنها فراهم شود (Chuong et al., 2000). عقیده بر این است که مسیر تکاملی پر (از خزندگان به پرندگان) و مو (از خزندگان به پستانداران) متفاوت و مستقل از یکدیگر است، ولی فولیکول پر و فولیکول مو شاهت‌هایی با هم دارند که به اعتقاد محققان ناشی از تکامل همگرای این دو ساختار است (Yue et al., 2005). فولیکول پر و مو هردو قادر ترمیمی نیرومندی دارند که می‌توانند به طور دوره‌ای سبب نوسازی این ساختارهای اپی‌تیالی (پر و مو) شوند (Paus, 1996). علاوه بر این، در طی دوره جنینی هردو این ضمائم پوستی (فولیکول پر و فولیکول مو) همچون دیگر ضمائم اپiderمی (ناخن، چنگال، فلس، عدد شیری و شاخ) درنتیجه برهم‌کنش‌های دقیقاً زمان‌بندی و مکان‌یابی شده‌ای که بین اپiderم جنینی و جمعیت خاصی از سلول‌های درمی جنینی (سلول‌های مزانشیمی) به Martinez et al., (2004). هردوی این بافت‌ها برای مورفوژنز طبیعی این ضمائم لازم و ضروری‌اند. دلیل این وابستگی دوچانبه وجود مسیرهای پیام رسانی دوچانبه‌ای است که بین اپiderم و سلول‌های مزانشیمی برقرار می‌شود و این پیام‌ها هستند که نوع، شکل و طرح ضمائم پوستی در حال تشکیل را تعیین می‌کنند (Davidson, 1993). از طرفی باید توجه داشت که این برهم‌کشش‌ها صرفاً به دوران جنینی محدود نمی‌شوند، بلکه در سرتاسر طول زندگی فرد تداوم دارند و مسئول رخدادهای چرخه‌ای در جریان رشد، توقف رشد و ریزش پر یا مو هستند (Mackenzie, 1994).

ظریف فولیکول های پوزه یا ویرسیا به آرامی و یک به یک از پوست بیرون آورده شد (Gharzi & Jahoda, 2012). برخی فولیکول های خارج شده برای مطالعات بافت شناسی به محلول فرمالین نمکی ۴٪ با دمای ۴°C منتقل و برخی دیگر به منظور آماده سازی برای میکروسکوپ الکترونی به محلول کاربوفسکی با دمای ۳°C منتقل شدند.

کبوترها نیز پس از کشته شدن روی تشتک تشریح ثابت شدند. در این مرحله با کمک دست شاه پرهای بالغ روی بال ها کنده شد تا اینکه در لایه لای این پرهای بالغ پرهای جوانی که به تازگی از پوست درآمده بودند مشخص شدند. سپس محل اطراف این پرهای جوان با پنهان آغشته با اتانول ۷۰٪ تمیز شد و سپس همچون موش ها در پوست مجاور این فولیکول ها با اسکالپل برشی ایجاد و لبه پوست بریده شده با گیره معکوس شد. در ادامه از سمت داخل و با کمک پنس فولیکول این پرهای جوان به آرامی از پوست بیرون کشیده شد. اینکار برای چند فولیکول پر بالغ نیز انجام گرفت. نظری فولیکول های مو، فولیکول های پر خارج شده نیز برای بررسی های بافت شناسی و میکروسکوپ الکترونی به یکی از دو ظرفی که در بالا اشاره شد منتقل شدند. در کل در این تحقیق ۲۲ فولیکول مو و ۱۵ فولیکول پر برای بررسی ها استفاده شدند.

آماده سازی فولیکول ها

به منظور آماده سازی نمونه ها برای مطالعات بافت شناسی، نمونه ها پس از ۲۴ ساعت تثیت شدن در محلول فرمالین نمکی با گذراندن از میان یک سری اتانول با غلظت بالارونده (۰.۷۰٪ و ۰.۹۵٪) دو ساعت برای هر کدام ۱۰۰٪ سه ساعت) ابتدا آبگیری شدند. فولیکول ها سپس با قرار گرفتن در تولوئن برای سه ساعت شفاف شدند و سپس مرحله نفوذ دادن (برای ۲۴ ساعت) و قالب گیری با پارافین در مورد آنها انجام شد. با کمک یک

علاوه براین، تفاوت هایی نیز از نظر بخش درمی بین این فولیکول ها وجود دارد (Yue et al., 2005; Yu et al., 2004). با توجه به اطلاعات متعدد و پراکنده درباره ساختار فولیکول پر و فولیکول مو در این مطالعه سعی بر این است که با قراردادن این دو اندام در کنار هم و مقایسه جزء به جزء آنها از جنبه های سلولی و میکروسکوپی به مقایسه شباهت ها و تفاوت های این دو فولیکول پرداخته شود. از طرفی برخلاف بیشتر مطالعات قبلی که از پرنده گان غیرپروازی و عمدها مرغ خانگی یا در مواردی غاز و غیره به عنوان مدل استفاده شده است (Xu et al., 2011; Wu et al., 2008; Yue et al., 2005; Chuong et al., 2000; Prum, 1999; Chuong, 1998) یک پرنده پروازی، کبوتر، با فولیکول های موی پوزه موش صحرایی مقایسه می شود.

مواد و روش ها

تهیه نمونه ها و خارج کردن فولیکول های مو و پر از پوست آنها

Piebald Virol Glaxo پنج موش صحرایی نژاد (PVG) که در شرایط آزمایشگاهی نگهداری می شدند و پنج کبوتر معمولی *Columba livia* که از بازار تهیه شد برای این کار انتخاب شدند. در تمام مراحل کار با حیوانات زنده موازین اخلاقی درباره رفتار با آنها کاملاً رعایت شد. هردو حیوان، با قرار گرفتن در دیسکاتور محتوی کلروفرم ابتدا بیهوده و سپس با رها کردن آنها در این وضعیت کشته شدند. موش ها، پس از کشته شدن، روی تشتک تشریح خوابانده شدند و با استفاده از قیچی جراحی ظریف یک برش روی پوست بالای لب فوقانی آنها ایجاد شد. پوست بریده با گیره مخصوص جراحی گرفته و به عقب برگردانده شد، به گونه ای که سطح داخلی پوست در معرض دید قرار گرفت. سپس به شیوه ای که قبل از توصیف شد و با کمک پنس های

می رسد در حال پشت سر گذاشتن مراحل تمایز به کراتینوسيت های ساقه مو هستند.

از نظر فراساختاری سلول های پاپیلای درمی با فواصل نسبتاً زیاد در یک ماتریکس خارج سلولی سنت قرار می گیرند. این سلول ها با اشکال مختلفی دیده می شوند و زوائد سیتوپلاسمی از همه جهت ها از آنها خارج می شوند (شکل D). این سلول ها به واسطه هسته های گرد یا بیضی شکل قابل شناسایی اند (شکل E).

سیتوپلاسم این سلول ها دانه دار است و حاوی اندامک های سیتوپلاسمی معمول است (شکل F). در داخل سیتوپلاسم یک شبکه آندوپلاسمی بسیار توسعه یافته با ریبوزوم های بی شمار دیده می شود. میتوکندری ها و دستگاه گذرنی در نواحی پیرامونی سیتوپلاسم قرار دارند، درحالی که ریبوزوم های آزاد تقریباً به طور یکنواخت در تمام نواحی سیتوپلاسم پراکنده هستند (شکل G). در اطراف پاپیلای درمی بخش ماتریکس اپیدرمی شامل سلول هایی است که به وسیله یک غشای پایه از سلول های پاپیلای درمی داخلی جدا می شوند (شکل H). سلول های اپیدرمی توسط اتصالات همی دسموزوم به این غشا متصل می شوند. در این اپیدرم چندین ردیف سلول اپیدرمی قرار دارد که متراکم کنار هم قرار گرفته بودند (شکل I). این سلول ها در پایین ترین بخش نسبت به نواحی بالاتر ویژگی های متفاوتی را به نمایش می گذارند. در پایین ترین بخش سلول های اپیدرمی ظاهر گرد و هسته بزرگی دارد و سیتوپلاسم واحد چندین میتوکندری و توده ای از ریبوزوم های آزاد است ولی این سلول ها از نظر سایر اندامک های سیتوپلاسمی زیاد غنی نیستند و در بین این سلول ها اتصالات دسموزوم به تعداد کمی دیده می شود (شکل J). همچنان که سلول ها به طرف بالا حرکت می کنند مورفولوژی و تشکیلات سیتوپلاسمی آنها دچار تغییر می شوند، به این ترتیب که سلول های اپیدرمی به تدریج بزرگتر می شوند و از حالت کروی به حالت

میکروتوم (Leitz 1512 ، آلمان) بر شهایی به ضخامت ۷ میکرون از فولیکول ها تهیه و بر شهایی ترکیبی از آبی آلسین، هماتوکسلین وایگرت و پونسا کوتیس (مرک، آلمان) رنگ آمیزی شدند.

درجت آماده سازی نمونه ها برای میکروسکوب الکترونی، پس از ثبیت اولیه آنها در محلول کاربوفسکی برای مدت یک ساعت، ثابت سازی ثانویه آنها با محلول اسمیوم تراکسید صورت گرفت و قالب های رزینی تهیه شده به وسیله اولترامیکروتوم (لایکا AG، اتریش) بر ش داده شدند. بر ش ها به ترتیب با استات اورانیل و سیترات سرب ۱٪ رنگ آمیزی شدند. بر ش های رنگ آمیزی شده در نهایت با میکروسکوب الکترونی گذاره (Philips 400T، هلند) مشاهده و بررسی شدند.

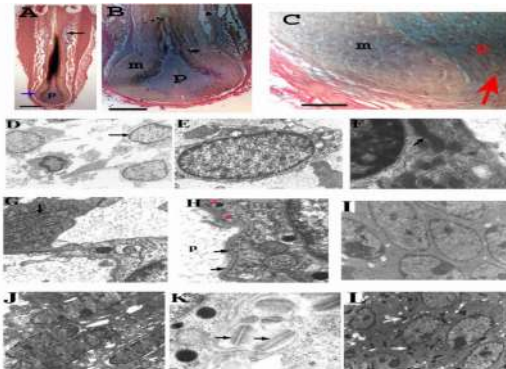
نتایج

مورفولوژی و ساختار فولیکول ها در مرحله رشد

در باره فولیکول های موی ویریسا، آنها از بیرون با غلاف کلاژنی سختی احاطه می گردند. در باب فولیکول مو در سرتاسر مرحله رشد یا آناژن انتهای تحتانی فولیکول یک ظاهر پیازی شکل یا حباب مانند را به نمایش می گذارد (شکل ۱A). در قسمت مرکزی این حباب یک پاپیلای درمی قرار گرفته که به استثنای بخش ساقه قاعده ای توسط بخش اپیدرمی که معمولاً به آن ماتریکس اپیدرمی گفته می شود احاطه می شود (شکل ۱B). پاپیلای درمی بزرگ و مشخص است و در قسمت رأسی به داخل بخش مرکزی رشته موی در حال رشد امتداد می یابد. سلول های پاپیلای در یک ماتریکس خارج سلولی فراوان که میل و قرابت شدیدی با آبی آلسین نشان می دهد قرار دارند. ماتریکس اپیدرمی چندلایه بوده و در ناحیه تحتانی از سلول های کروی، کوچک و متراکم تشکیل می شود (شکل ۱C)، ولی در سطوح بالاتر این سلول ها حجمی تر و درازتر می شوند و به نظر

دانه های ملانین در سیتوپلاسم و لابهای سلول های اپiderمی مشاهده شد (شکل ۱).

طويل و كشیده درمی آيند. در اين نواحي نسبت به بخش پايانی بين سلول ها اتصالی های دسموزومی فراوان تری دیده می شود (شکل ۱K). در فوليکول هایی که موی تيره ايجاد می کنند در اين ناحیه بالايی تعداد زیادي



شکل ۱- ساختار فوليکول موی ويريسا موش در مرحله رشد. (A) برش طولی از فوليکول که ساختار پیازی شکل انتهای آن را نشان می دهد. پاپیلای درمی (p) از اطراف توسط ماتریکس اپiderمی ضخیمی (پیکان آبی) احاطه می شود. اپiderم خود توسط غلاف درمی (پیکان تیره) احاطه می شود. (B) بزرگنمایی بالاتر از بخش انتهای فوليکول که پاپیلای درمی بزرگ (p) و ماتریکس خارج سلولی غنی از گلیکوزآمینوگلیکانها (رنگ آبی) را نشان می دهد. (C) بزرگنمایی بالاتر تصویر قبلی. به جز ناحیه ساقه اتصالی (پیکان قرمز) پاپیلای توسط يك ماتریکس اپiderمی (m) چندلایه احاطه شده است. (D) الکتروميکروگراف سلول های پاپیلای درمی. سلول های پاپیلای با هسته های مشخص (پیکان) کاملاً از هم جدا و بين آنها فضای بین سلولی زیادی دیده می شود. (E) سلول های فيبروبلاست-مانند هستند و اندامک های سلولی از جمله میتوکندری (پیکان در F) و شبکه آندوبلاسمی وسیع (پیکان در G) در سیتوپلاسم آنها دیده می شود. (H) در محل اتصال پاپیلای درمی (p) به غشای پایه مشخص (پیکان های تیره) وجود دارد. این سلول ها توسط اتصالات نیمه دسموزومی (پیکان های قرمز) به غشای پایه متصل هستند. (I) سلول های اپiderمی بخش تعقیب ماتریکس متراكم و کوچک هستند. (J) سلول های اپiderمی بخش بالایی ماتریکس بلند و کشیده اند. در نواحی بالاتر تعداد زیادی دسموزوم (پیکان ها در K) و دانه های ملانین (پیکان ها) بين سلول های اپiderمی دیده می شود. خط نشانه در A برابر ۲۵۰ در C ۱۰۰ B ۲۵۰ در G ۳۶۰۰۰، F ۲۸۰۰۰، E ۱۰۰۰۰، D ۴۶۰۰۰، H ۳۶۰۰۰، I ۶۰۰۰۰، J ۸۰۰۰۰، L ۴۶۰۰ و K ۵۰ میکرومتر. بزرگنمایی الکتروميکروگراف های

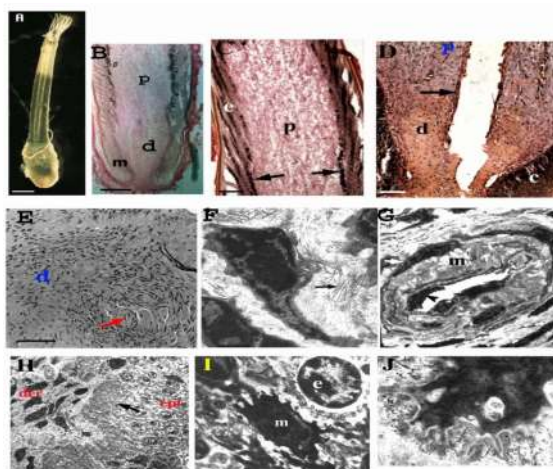
Fig. 1. Structure of rat's vibrissa follicle during growing stage. (A) A longitudinal section through the follicle which shows its bulbous shape. Dermal papilla (p) is surrounded by a thick epidermal matrix (blue arrow) covered by a dermal sheath. (B) Higher magnification of the follicle's end which shows a large dermal papilla (p) with a matrix rich in Glycosaminoglycans (blue color). (D) Higher magnification of previous picture. Except of connecting stalk, the papilla (red arrow) is surrounded by a multilayered epidermal matrix (m). Electro micrograph of papilla's cells with distinct nucleus (n) separated by a large extracellular space. (E) The cells of papilla are fibroblast-like in shape and cellular organelles including mitochondria (arrow in F) and rich endoplasmic reticulum (arrow in G) are seen within their cytoplasm. (H) At the point where the dermal papilla (p) connects to surrounding epidermis (e) a distinct basement (black arrows) is present. The epidermal cells are connected to the membrane by hemidesmosome junctions (red arrows). (I) The epidermal cells of the basal region the matrix are small and dense. (J) The cells in upper regions of the matrix are thin and long. At the upper part of the follicle many desmosomes (arrows in K) and melanin granules (arrows in L) are observed between cells. Bars= 250 μ (A), 100 μ (B), 50 μ (C). Electromicrographs magnification = $\times 4600$ (D), $\times 10000$ (E), $\times 18000$ (F), $\times 28000$ (G), $\times 36000$, (H), $\times 6000$ (I), $\times 8000$ (J), $\times 60000$ (K), $\times 4600$ (L).

اپیدرمی است که سلول‌ها تمایز پیدا کرده و مقدمه تشکیل ریشک‌های پر ایجاد می‌گردد. بر خلاف مو، در فولیکول پر یک رگ خونی بزرگ از طریق ساقه اتصالی قاعده‌ای به پایپلا وارد و در مرکز پایپلا و پولپ به طرف ناحیه فوقانی فولیکول حرکت می‌کند (شکل ۲D).

از نظر فراساختاری پایپلای درمی فولیکول پر نیز از سلول‌های فیربلاست مانندی تشکیل می‌شود که کم و بیش به صورت حلقوی در اطراف یک رگ بزرگ خونی پراکنده شده‌اند (شکل ۲E). این سلول‌ها اشکال مختلفی به خود گرفته ولی اکثراً بلند و کشیده بوده و واحد زوائد سیتوپلاسمی اندکی هستند (شکل ۲F). سلول‌های پایپلا دارای هسته بزرگی هستند که بخش زیادی از حجم سلول را اشغال می‌کند و در اطراف این هسته سیتوپلاسم نازکی قرار می‌گیرد. در اطراف سلول‌های پایپلا ماتریکس خارج سلولی غنی از رشته‌های بافت همبند به ویژه کلائز رشته‌ای حضور دارد. رگ خونی بزرگی که در مرکز پایپلا وجود دارد یک دیواره ضخیم با طبقات مشخص را دارا است (شکل ۲G).

سلول‌های پایپلای درمی توسط یک غشای پایه ضخیم و غنی از رشته از بخش ماتریکس اپیدرمی اطراف جدا می‌شوند (شکل ۲H). در داخل ماتریکس، سلول‌های اپیدرمی به صورت کوچک و بسیار متراکم وجود داشته و به طور محکم به غشای پایه متصل هستند (شکل ۲I). در داخل ماتریکس چندین سلول دندانی نیز مشاهده می‌شوند که به طور تنگاتنگ به سلول‌های اپیدرمی مجاور مرتبط هستند (شکل ۲J).

فولیکول شاهپر در حال رشد نیز واجد مشخصاتی است که بسیار مشابه آن چیزی است که فولیکول مو در مرحله مشابه نمایان می‌کند. این فولیکول‌ها دارای ساختاری کوزه‌مانند هستند که توسط غلافی از بافت همبند احاطه می‌شوند (شکل ۲A). از سطح فوقانی این فولیکول، غلاف پر خارج شده که در داخل آن ریش‌ها قرار دارند. درنهایت همچون ناحیه راسی این غلاف شکافته شده و با نظم گرفتن و مرتب شدن ریش و ریشک‌ها پهنه پر شکل می‌گیرد. در نمای میکروسکوپی، یک توده بسیار بزرگ از سلول‌های درمی در طول ناحیه میانی فولیکول مشاهده می‌شود (شکل ۲B). این ساختار درمی از دو بخش تحتانی و فوقانی تشکیل می‌شود، هر چند از نظر بافتی مرز کاملاً مشخصی بین این دو دیده نمی‌شود. ناحیه تحتانی پایپلای درمی نامیده می‌شود که از سلول‌های شبه فیربلاست تشکیل شده و در یک ماتریکس خارج سلولی فراوان قرار می‌گیرند. برخلاف پایپلای درمی فولیکول مو، پایپلای درمی پر با آبی آلسین که با گلیکوزآمینوگلیکان‌ها واکنش می‌دهد رنگ نگرفت بلکه با ظاهری قرمز رنگ نمایان شد. همچون پایپلای مو، پایپلای فولیکول پر نیز به جز در بخش ساقه اتصالی تحتانی به وسیله یک بخش اپیدرمی ضخیم و چندلایه احاطه می‌شود. سلول‌های بخش اپیدرمی به شکل کاملاً متراکم قرار داشته و هنگام رنگ شدن با هماتوکسیلین یک واکنش بازووفیلی قوی از خود نشان می‌دهند. این بخش اپیدرمی که یقه نام دارد ناحیه‌ای است که با انجام تکثیر سلولی در آن، سلول‌های مورد نیاز برای ساختن رشته پر فراهم می‌شود (شکل ۲C). سه چهارم فوقانی توده درمی پولپ یا پرد نامیده شده و در واقع از سلول‌های مرده و مواد خارج سلولی ترشح شده از سلول‌های پایپلای تشکیل می‌شود. پولپ توسط یک بافت اپیدرمی که از ناحیه یقه نازک‌تر بوده و حاوی سلول‌های پیگماندار است احاطه می‌شود. در این ناحیه از بافت



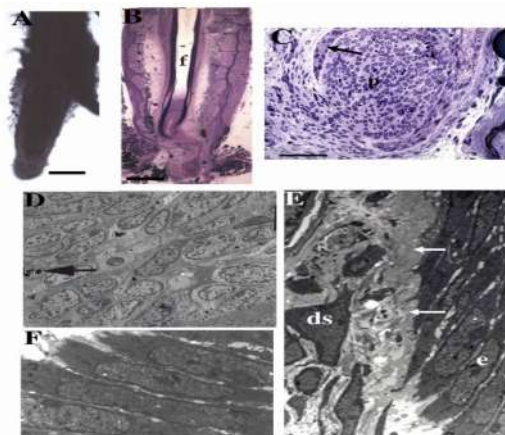
شکل ۲ - ساختار فولیکول پر درحال رشد در کبوتر. (A) مورفولوژی خارجی فولیکول. (B) یک برش طولی از فولیکول. بافت درمی به دو ناحیه پاپیلای درمی تحتانی (d) و پولپ فوکانی (p) تقسیم می شود. ماتریکس اپیدرمی (m). (C) بزرگنمایی بالاتر از بخش بالایی فولیکول که پولپ (p) و بافت اپیدرمی (e) اطراف آن را نشان می دهد. در محل تماس پولپ و بافت اپیدرمی تعداد زیادی دانه های رنگی (پیکانها) در ریشه های درحال تشکیل دیده می شود. (D) بزرگنمایی بالاتر از بخش تحتانی یک فولیکول درحال رشد دیگر که رگ بزرگ خونی مرکزی (پیکان) را که در طول پاپیلا (d) و پولپ (p) حرکت می کند نمایش می دهد. یقه اپیدرمی (c) نیز در این تصویر مشاهده می شود. (E) برش نیمه نازک از پاپیلا درمی (d) که سلول ها به صورت حلقه وار در اطراف رگ مرکزی (پیکان) قرار می گیرند. (F) الکترومیکروگراف سلول های پاپیلای درمی که داخل یک ماتریکس خارج سلولی غنی از رشته شناورند. (G) برش عرضی از رگ مرکزی پاپیلا که سه لایه دیواره رگ شامل انتیما (نوک پیکان تیزه)، مدیا (m) و ادوانتیس (پیکان سفید) مشخص است. (H) یک غشای پایه ضخیم و مشخص (پیکان) بین بخش اپیدرمی (epi) و درمی (der) می شود. (I) هسته سلول های اپیدرمی گرد است و تعدادی سلول های دندانیتیک (m) در بین آنها دیده می شود. (J) سلول دندانیتیک که واحد ضمائن سیتوپلاسمی متعددی است. خط نشانه در A برابر با ۱ میلی متر، در B و C ۵۰ میکرومتر، در D ۳۰ میکرومتر، در E ۲۵ میکرومتر. بزرگنمایی الکترومیکروگراف های F، G، H، I، J، ×۱۷۰۰۰، ×۲۸۰۰۰، ×۶۰۰۰، ×۲۸۰۰، ×۱۳۰۰۰ و ×۳۶۰۰۰.

Fig. 2. Structure of pigeon's feather follicle during growing stage. (A) External morphology of the feather follicle. (B) A longitudinal section through a follicle. The dermal component is divided into two regions, the lower dermal papilla (d) and the upper pulp (p). Epidermal matrix (m). (C) Higher magnification of the upper follicle shows the pulp (p) and surrounding epidermal tissue (e). At the interface between the pulp and epidermal tissue numerous black pigments (arrows) are seen within the forming barbs. (D) Higher magnification of the lower follicle which reveals a large central vessel (arrow) within the length of the papilla (d) and pulp (p). The epidermal collar (c) is also observed. (E) A semi-thin section through the papilla (d) with circular cells surrounding the central vessel (arrow). Electro micrograph of papilla cells embedded in a extracellular matrix rich in fibers. (G) A cross section through the central blood vessel showing three distinct layer of intima (black arrowhead), media (m) and adventitia (white arrow). (H) The dermal cells (der) are separated from epidermal cells (epi) by a thick basement membrane (arrow). (I) The epidermal cells have round nuclei and some dendritic cells (m) were also observed within them. (J) The dendritic cells display multiple cytoplasmic projections. Bars= 1 mm (A), 50 μ (B, C), 30 μ (D), 25 μ (E). Electromicrographs magnification = $\times 17000$ (F), $\times 6000$ (G), $\times 2800$ (H), $\times 13000$ (I), $\times 36000$ (J).

می شود (شکل ۳B). پایپلاسی درمی کوچک است و به وسیله یک نوار نازک از سلول های اپیدرمی احاطه می شود (شکل ۳C). سلول های پایپلا نسبت به مرحله رشد بسیار متراکم ترند و دارای اندازه کوچک تر و زوائد سیتوپلاسمی کمتری هستند (شکل ۳D). در بخش اپیدرمی نیز تعداد لایه های سلولی نسبت به مرحله رشد کاهش مشخصی نشان می دهد و سلول ها بزرگ و کشیده هستند. این سلول های اپیدرمی هنوز هم توسط غشاء پایه از سلول های درمی جدا می شوند، ولی نسبت به مرحله رشد این غشا بسیار ضخیم تر است (شکل ۲E).

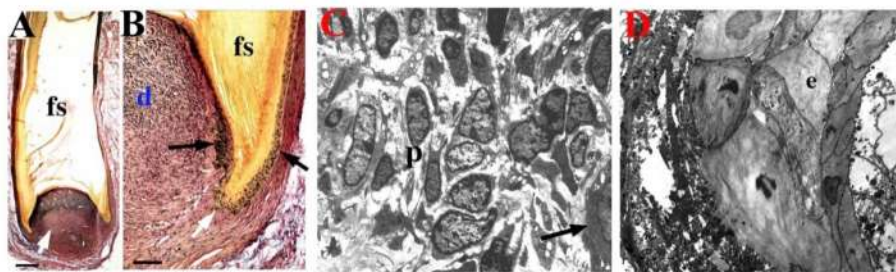
مورفولوژی و ساختار فولیکول ها طی دوره استراحت

هردو فولیکول مو و پر پس از طی مرحله رشد که طول مدت آن در فولیکول های مختلف فرق می کند وارد فاز استراحت می شوند و این زمانی است که رشتہ مو و ساقه پر ساخته شده در مرحله رشد شروع به حرکت کردن به طرف سطح پوست می کند و پایپلاسی درمی قاعده ای چروکیده می شود. فولیکول مو در طول این دوره، که به تلوژن معروف است، یک انتهای باریک و نوک تیز دارد (شکل ۳A). در برش های بافت شناسی قسمت قاعده ای (بولب) آن به صورت تکمه ای در انتهای دیده



شکل ۳- ساختار فولیکول مو و پر پس از مرحله استراحت (تلوژن). (A) شکل ظاهری یک فولیکول تلوژن که انتهای تحتانی باریک آن را نشان می دهد. (B) ساختار بافتی یک فولیکول تلوژن که بخش قاعده ای پیاز در آن به صورت تکمه دیده می شود. رشتہ موی تولید شده که اکنون کلاب نامیده می شود (f) به سمت سطح پوست حرکت کرده است. (C) بزرگنمایی بالاتر ناحیه بولب که سلول های پایپلاسی (p) متراکم و لایه بسیار نازکی از سلول های اپیدرمی (بیکان) اطراف آن را نشان می دهد. (D) الکترومیکروگراف پایپلاسی درمی متراکم که لیزوژوم ها (بیکان) به صورت نقاط تیره نگ ک در داخل سیتوپلاسم سلول ها دیده می شوند. (E) الکترومیکروگراف محل اتصال (بیکان) ماتریکس اپیدرمی و سلول های غلاف درمی. (F). این تصویر سلول هایی اپیدرمی را که در انتهای قاعده ای پیاز قرار دارند نشان می دهد. خط نشانه در تصاویر A و B و در C ۲۰۰ μ و در D ۳۶۰۰ μ و در E ۴۰۰۰ μ و در F ۶۰۰۰ μ میکرومتر است. بزرگنمایی الکترومیکروگراف های D، E، F، C، B، A.

Fig. 3. Structure of a vibrissa follicle during the resting stage (telogen). (A) External morphology of a telogen follicle with a narrow end. (B) Histological structure of a telogen follicle showing its knob-like end. The produced fiber which is now called the club moved towards the skin surface. (C) Higher magnification of the bulb region showing dense papilla cells (p) and a thin layer of surrounding epidermal cells (arrow). (D) Electron micrograph of the compact papilla revealing lysosomes (arrow) inside cell's cytoplasm. (E) An electron micrograph from the interface (arrow) between the epidermal matrix and dermal sheath. (F) This picture shows the epidermal cells located at the basal end of the bulb. Bars = 200 μ (A, B), 60 μ (C). Electromicrographs magnification: ×3600 (D), ×4000 (E), ×6000 (F).



شکل ۴- ساختار فولیکول پر در مرحله استراحت. (A) برشی طولی از فولیکول. در مقایسه با مرحله رشد پاپیلای درمی (پیکان) کوچک است و فقط به انتهای قاعده‌ای فولیکول محدود می‌شود. بخش ساقه اپیدرمی (fs) عمدتاً کراتینه شده و در این نما قادر ساختار سلولی است. (B) بزرگنمایی بالاتر ناحیه تحتانی تصویر A. ساقه اپیدرمی (fs) بهوسیله لایه نازک از سلول‌ها (پیکان‌های تیره) از بیرون و داخل و همچنین پایین (پیکان سفید) احاطه می‌شود. (C) الکترومیکروگراف سلول‌های پاپیلای درمی که به طور متراکم و فشرده در لایه‌ای یک ماتریکس نازک (پیکان) قرار گرفته‌اند. (D) الکترومیکروگراف بخش اپیدرمی که سلول‌های کراتینه شده و مرده (e) را در این ناحیه نشان می‌دهد. هسته و دیگر اندامک‌های سلولی در این سلول‌ها مشاهده نمی‌شوند. رنگ آمیزی در A و B با ترکیبی از هماتوکسیلین، انوزین و پونسا S. خط نشانه در A و ۲۰۰ F. ۵۰ میکرومتر. بزرگنمایی الکترومیکروگراف‌های C و D. $\times 2000$ و $\times 4600$.

Fig. 4. Structure of feather follicle during the resting stage. (A) A longitudinal section through the follicle. Compared to the growing stage, the dermal papilla (arrow) is small and confined only to the base of the follicle. The epidermal feather shaft (fs) is mainly keratinized and acellular. (B) Higher magnification of the lower region of the same specimen. The feather shaft (fs) is surrounded by a thin layer of epidermal cells at both sides (white arrows). (C) Electro micrograph of compact papilla cells observed within a thin matrix (arrow). (D) An electro micrograph from the epidermal component with keratinized dead cells (e) which lack any cellular organelles. Staining in A and B with a combination haematoxylin, eosin andponceau S. Bars= 200 μ (A), 50 μ (F). Electromicrographs magnification: $\times 2000$ (C) and $\times 4600$ (D).

(شکل ۴B). این توده کراتینه بهوسیله لایه نازکی از اپی تیال شاخی نشده از بیرون احاطه می‌شود. در طرف داخل این توده و مجاور پاپیلای درمی اجتماعی از سلول‌های اپی تیال کوچک و متراکم دیده می‌شود که هسته‌های آنها بهشت با هماتوکسیلین رنگ می‌گیرند. سلول‌های پاپیلا نسبتاً کوچک و فشرده هستند و فضای کمی بین آنها وجود دارد (شکل ۴C). در بخش بیرونی، سلول‌های اپیدرمی کاملاً کراتینه شده و اندامک‌های سیتوپلاسمی در آنها دیده نمی‌شود (شکل ۴D).

سلول‌های اپیدرمی در قسمت پایینی و بالایی مورفولوژی مشابهی را به نمایش می‌گذارند و بر عکس مرحله رشد تفاوتی در این زمینه نشان نمی‌دهند (شکل ۴F).

در فولیکول پر مرحله استراحت پاپیلای درمی نسبت به مرحله رشد بسیار کوچک و حاوی سلول‌های متراکم به ویژه در ناحیه قاعده‌ای است (شکل ۴). پولپ نیز در این مرحله بسیار کوچک و در بعضی موارد تشخیص ناپذیر است. پاپیلا از جوانب و بالا بهوسیله بخش اپیدرمی که عمدتاً غیرسلولی و کراتینه شده است احاطه می‌شود

بحث

این ترکیبات است و به جای آن از رشته های بافت هم بند به ویژه کلاژن غنی است. تفاوت آشکار دیگری که در این دو فولیکول مشاهده شد این بود که برخلاف فولیکول مو یک رگ خونی بزرگ مرکزی در طول پاپیلا و پولپ فولیکول پر مشاهده می شد.

بررسی های قبلی مشخص کرده است که سلول های عضلانی دیواره این رگ از پروتئین آلفاکتین عضله صاف بسیار غنی است و این یکی از پروتئین های مهم انقباضی سلوی است (Alberts *et al.*, 1994). همچنین در اینجا نشان داده شد که سلول های دندانیتیک فقط در لایه لای سلول های اپیدرمی ناحیه یقه فولیکول پر مشاهده می شوند. علاوه بر این برخلاف فولیکول مو که غشاء پایه ناز کی بین دو بخش درمی و اپیدرمی قرار می گیرد، در فولیکول پر بخش درمی توسط یک غشاء پایه ضخیم و چند لایه از ماتریکس اپیدرمی اطراف جدا می شود.

وجود یک رگ بزرگ مرکزی در مرکز فولیکول پر با توجه به نقش آن در زندگی پرندگی قابل توجیه است؛ چراکه با توجه به فعالیت و حرکات بیشتر پر در مقایسه با مو این فولیکول متابولیسم بالاتری دارد و این متابولیسم بالا نیازمند تأمین مواد غذایی و اکسیژن لازم توسط رگ های خونی است. همچنین عقیده بر این است که وجود این رگ مرکزی باعث می شود فولیکول پر بتواند بسیار زیادتر از فولیکول مو رشد کند و بزرگتر هم هست (Chuong *et al.*, 2001).

وجود اجتماعی از سلول های اپیدرمی متصل به پاپیلا در فولیکول های پر در حال استراحت نتیجه جالبی بود که ممکن است نشانه جایگاه قرار گیری سلول های اپیدرمی بنیادی در فولیکول پر باشد. این سلول ها به راحتی از بخش کراتینه شده ماتریکس قابل تمایز و تفکیک اندولی در عین حال به وسیله یک غشاء پایه ضخیم به طور محکم به سلول های پاپیلا چسبیده بودند.

نتایج این مطالعه نشان داد که فولیکول موی ویبریسا و فولیکول پر کبوتر شباهت ها و تفاوت هایی دارند. در مورد شباهت ها هردو فولیکول دارای ساختار استوانه ای شکلی هستند که از اپیدرم تا ناحیه عمقی درم نفوذ پیدا می کنند؛ هردو فولیکول در بخش قاعده ای و میانی خود مجموعه ای از سلول های درمی به نام پاپیلا دارند که سبب القای روند تقسیم و تکثیر در سلول های اپیدرمی اطراف می شوند. در هردو فولیکول سلول های پاپیلا درمی واجد شبکه آندوبلاسمی غنی و ریبوزوم های فراوان است. در حد فاصل بین سلول های پاپیلا درمی و اپیدرم پیرامونی یک غشاء پایه مشخص وجود دارد (Rogers, 2004). در بخش اپیدرمی سلول های ناحیه قاعده ای فولیکول کوچک و متراکم و غنی از اندامک های سیتوپلاسمی هستند، ولی به طرف بخش های فوقانی سلول ها به تدریج حجمی می شوند و از اندامک های فعال سیتوپلاسمی آنها کاسته و فرایند تمایز انتهایی در آنها دیده می شود. در بخش قاعده ای سلول های اپیدرمی هردو فولیکول واکنش بازو فیلی بسیار بارزی با رنگ هماتوکسلین نشان می دهند. در برابر تفاوت های ساختاری بین این دو اندام، تحقیق حاضر مشخص کرد که برخلاف پاپیلا درمی فولیکول مو، که سلول ها در تمام مساحت بافت به طور نسبتاً یکنواخت پراکنده شده اند، در فولیکول پر سلول ها در یک چهارم قاعده ای پاپیلا متتمرکز شده و سه چهارم فوقانی پاپیلا که به پولپ یا پرد مشهور است عمدتاً توسط ماتریکس خارج سلوی اشغال شده و واجد سلول های درمی فعل اندکی است. همچنین مطالعه اخیر نشان داد که برخلاف ماتریکس خارج سلوی پاپیلا درمی فولیکول مو که از ترکیبات گلیکوز آمینو گلیکان غنی است (با توجه به رنگ پذیری شدید آنها با آبی آلسين) ماتریکس پاپیلا فولیکول پر فاقد

سلول های بنیادی هستند که در چرخه بعدی به همراه پاپیلای درمی جوانه پر را می سازند (Yue, 2005). علاوه بر مواردی که در تحقیق حاضر به آن پرداختیم، شباهت ها و تفاوت های دیگری نیز بین این دو نوع فولیکول شناسایی و گزارش شده است. در باب شباهت ها به طور مثال نشان داده شده که مولکول های پیام رسان متعددی طی تشکیل پر در فولیکول پر بیان می شوند که از جمله می توان به BMPها در پاپیلای درمی و پولپ، SHH در بخش در حال تمایز اپیدرم، LCAM, NCAM و مسیر های Wnt و Notch اشاره (Yue et al., 2004; Paus et al., 2002; Widelitz et al., 1997; Chen et al., 1997; Chuong & Edelman, 1985) کرد. این موارد کم و بیش شیوه مولکول ها و مسیر های پیام رسانی است که در طی تشکیل مو در فولیکول مو بیان می شود (Randall, 2007; Miller, 2002; Tuukanem et al., 1999; Paus et al., 1997; Akiyama et al., 1995). بنابراین، از این نظر، این دو اندام تقریباً ویژگی های مشابهی را به نمایش می گذارند. اخیراً مشخص شده که این دو نوع فولیکول تفاوت هایی را از نظر بیان Zhang et al., 2013 microRNA

در باب تفاوت ها می توان گفت عقیده بر این است که بخش اپیدرم ماتریکس فولیکول پر از چند لایه تشکیل می شود: لایه قاعده ای مجاور انتهای پاپیلای درمی، لایه حد واسط و لایه شاخی شده خارجی مجاور غلاف فولیکول (Yu et al., 2004)، در حالی که چنین تقسیم بندی مشخصی حداقل در باره ماتریکس اپیدرمی فولیکول مو گزارش نشده است و اگر تقسیم بندی هایی نیز هست با آنچه در فولیکول پر دیده می شود متفاوت است (Rogers, 2004).

علاوه بر این هر چند در این تحقیق به ساختار های اطراف فولیکول پر و مو پرداخته نشد، ولی مطالعات قبلی نشان داده است که برخلاف فولیکول مو که

درنتیجه به نظر می رسد که این سلول ها در جریان پر ریزی و کنده شدن پرها دست نخورده در جای خود باقی می مانند. ویژگی های ابتدایی یا تمایز نیافتگی آنها از قبیل داشتن هسته های کوچک و گرد با سیتوپلاسم نازک پیشنهاد می کند که آنها احتمالاً در دور بعدی تشکیل ساقه پر مخزن و منشأ سلول های اپیدرمی پر جدید هستند. این پیشنهاد از این عقیده حمایت می کند که برخلاف فولیکول مو، که دارای اجتماعی از سلول های بنیادی اپیدرمی در بخش فوقانی فولیکول است، در فولیکول پر این سلول ها در ناحیه یقه ماتریکس قرار دارند و بخش بالایی فولیکول قادر چنین اجتماعی از سلول ها است. هر چند گزارش هایی وجود دارد که در طی مرحله استراحت در فولیکول موی ویبریسا یک اجتماع کوچکی از سلول های اپیدرمی در پایین ترین بخش بولب باقی می ماند (Reynolds & Jahoda, 1993)، در این مطالعه چنین سلول هایی مشاهده نشدند.

در باره ساختار میکرو سکوپی و فراساختاری فولیکول مو و پر در گذشته تحقیقاتی انجام شده است (Alibardi & Totti, 2008; Yu et al., 2004; Stenn & Paus, 2001; Stetenheim, 2000; Chiu et al., 1996)

تحقیق با نتایج تحقیقاتی که در باره ساختار پاپیلای درمی، رگ خونی مرکزی، ماتریکس اپیدرمی، غشای پایه بین این دو و سلول های بنیادی اپیدرمی فولیکول مو و فولیکول پر انجام شده است مطابقت دارد، ولی نکاتی که در این تحقیق به عنوان نتایج جالب توجه آشکار شد این بود که در فولیکول پر برخلاف فولیکول مو سلول های پاپیلای درمی به طور متعدد مرکز در اطراف رگ مرکزی قرار می گیرند، چیزی که در مطالعات قبلی به آن اشاره های نشده است و دومین نکته در این تحقیق در فولیکول پر در حال استراحت بدون استفاده از روش های ایمنو هیستوشیمی جمعیت مشخصی از سلول های اپیدرمی در ناحیه تحتانی فولیکول پر شناسایی شد که به احتمال قوی و با توجه به تحقیقات قبلی همان

و یافته‌ها نتیجهٔ نهایی این تحقیق این است که صرف نظر از شbahت‌ها، این دو فولیکول از نظر ساختمان پاییلای درمی، غشای پایه بین ماتریکس اپیدرمی و محل قرارگیری سلول‌های بنیادی اپیدرمی با هم اختلافاتی را نشان می‌دهند.

تشکر و قدردانی

دانشگاه لرستان سپاسگزاری می کنیم.

References

- Akiyama, M., Dale, B.A., Sun, T.T. and Holbrook, K.A.** 1995. Characterization of hair follicle bulge in human fetal skin: the human fetal bulge is a pool of undifferentiated keratinocytes. – *Journal of Investigative Dermatology* 105: 844–850.

Alberts, B., Bray, D., Lewis, J. and Raff, M. 1994. – Molecular biology of the cells. Garland Publishing Inc., New York.

Alibardi, L. and Toni, M. 2008. Cytochemical and molecular characteristics of the process of cornification during feather morphogenesis. – *Progress in Histochemistry and Cytochemistry* 43: 1–69.

Chen, C.W., Jung, H.S., Jiang, T.X. and Chuong, C.M. 1997. Asymmetric expression of Notch/Delta/Serrate is associated with the anterior-posterior axis of feather buds. – *Dev. Biol.* 188: 181–187.

Chiu, H.C., Chang, C.H., Chen, J.S. and Jee, S.H. 1996. Human hair follicle dermal papilla cell, sheath cell and interstitial dermal fibroblast characteristics. – *J. Formosan Medical Association* 95: 667–674.

Chuong, C.M. and Edelman, G.M. 1985. Expression of cell-adhesion molecules in embryonic induction. I. Morphogenesis of nestling feathers. – *The Journal of Cell Biology* 101: 1009–1026.

مجموعاً دارای یک عضله راست کننده است در باب فولیکول پر دسته‌های متعددی از عضلات در بافت هم‌بند اطراف وجود دارند که فولیکول را غلاف می-کنند. این عضلات شامل عضلات راست کننده، فروبرنده و عقب کشنده هستند که برای کشیدن فولیکول در جهت‌های مختلف استفاده می‌شوند، چیزی که برای پرواز پرنده بسیار حیاتی است (Yu *et al.*, 2004)، با توجه به اینکه مو در حرکت پستانداران نقش ندارد، به نظر می‌رسد این عضلات در جریان تکامل تحلیل می-رونده و فقط به یک نوع عضله کاهش پیدا می‌کنند. ضمناً باستی اشاره کرد که برخلاف رشتة مو که قادر به بخش‌های فرعی است در ساختار پر بخش‌های متعددی از قبیل ساقه، پهنه، خامه یا کلک، محور، ریش، ریشک‌ها، لبه‌های اتصالی و قلابک‌ها دیده می‌شود که تشکیل هریک از این‌ها با فرآیندها و پیچیدگی‌هایی همراه است که اصولاً قرینه آن‌ها در مو دیده نمی‌شود (Alibadi & Totti, 2008; Wu *et al.*, 2004).

خلاصه اینکه فولیکول‌های پر و مو ضماین اپیدرمی بسیار اختصاصی هستند که از اپیدرم به داخل درم امتداد می‌یابند. هرچند این دو اندام از لحاظ تکاملی مشابه، (Yu *et al.*, 2002; Paus, 1999) متفاوتی دارند ولی از لحاظ ساختاری شباهت‌هایی نیز بین آنها دیده می‌شود. فولیکول پر در مقایسه با فولیکول مو بسیار پیچیده‌تر است و مهم‌ترین تفاوت پر با مو این است که پر برخلاف مو به طور سلسله‌مراتبی ساختاری بسیار منشعب است، بدین ترتیب که ساقه به تعداد زیادی ریش و هر ریش به تعداد زیادی ریشک و خود ریشک به تعداد زیادی قلاک‌ک تقسیم می‌شود، چیزی که در مورد مو دیده نمی‌شود. با وجود این از نظر داشتن فعالیت چرخه‌ای (مرحله رشد و مرحله استراحت) این دو اندام مشابه هستند و تشکیل پر و مو در این دو فولیکول از الگوی مشابهی پیروی می‌کند. در راستای این مقایسه ها

- Chuong, C.M.** 1998. Feather morphogenesis: a model of the formation of epithelial appendages. – In: Chuong, C.M. (Ed.), Molecular Basis of Epithelial Appendage Morphogenesis. Landes Bioscience, Austin 3–14.
- Chuong, C.M., Chodanker, R., Widelitz, R.B. and Jiang, T.X.** 2000. Evo-Devo of feathers and scales: building complex epithelial Appendages. – Current Opinion in Genetics and Development 10: 449-456.
- Chuong, C.M., Hou, L., Chen, P.J., Wu, P., Patel, N. and Chen, Y.** 2001. Dinosaur's feather and chicken's tooth. Tissue engineering of the integument. – European Journal of Dermatology 11: 286-292.
- Davidson, E.H.** 1993. Later embryogenesis: regulatory circuitry in morphogenetic fields. – Development 118: 665-690.
- Gharzi, A., Abbasi, M. and Jahoda, C.A.B.** 2001. Study of expression of α -SMA in dermal cells of skin appendages by immunohistochemistry. – Journal of Cell & Tissue 1: 65-74.
- Gharzi, A. and Jahoda, C.A.B.** 2012. A survey of attachment and proliferative characteristics of different population of hair follicle epithelial cells in culture. – Journal Cell & Tissue 3: 9-19.
- Harris, M.P., Fallon, J.F. and Prum, R.O.** 2002. Shh-Bmp2 signaling module and the evolutionary origin and diversification of feathers. – J. Exp. Zoo. 294: 160-176.
- Jiang, T.X., Tuan, T.L., Wu, P., Widelitz, R. B. and Choung, C.M.** 2011. From buds to follicles: Matrix metalloproteinases in developmental tissue remodeling during feather morphogenesis. – Differentiation 81: 307-314.
- Lin, S.J., Foley, J., Jiang, T.X., Yeh, C.Y., Wu, P., Foley, A., Yen, C.M., Huang, Y.C., Cheng, H.C., Chen, C.F., Beeder, B., Jee, S.H., Widelitz, R.B. and Chuong, C.M.** 2013. Topology of feather melanocyte progenitor niche allows complex pigment patterns to emerge. – Science 340: 1442-1445.
- Mackenzie, I.C.** 1994. Epithelial-mesenchymal interactions in the development and maintenance of epithelial tissues. – In The Keratinocyte Handbook, Edited by I. M. Leigh, E. B. Lane & F. M. Watt, Cambridge University Press, 243-257.
- Martinez, I.O., Viallet, G.P., Michon, F., Pearton, D.J. and Dhouailly, D.** 2004. The different steps of skin formation in vertebrates. – Int. J. Dev. Bio. 48: 107-115.
- Miller, S.E.** 2002. Molecular mechanisms regulating hair follicle development. – Journal of Investigative Dermatology 118: 216-225.
- Morris, R.J., Liu, Y., Marles, L. and Yang, Z.** 2004. Capturing and profiling adult hair follicle stem cells. – Nat. Biotechnol. 22: 411–417.
- Paus, R.** 1996. Control of the hair cycle and hair diseases as cycling disorders. – Curr. Opin. Dermatol. 3: 248-258.
- Paus, R., Foitzik, K., Welker, P., Bulfone-Paus, S. and Eichmuller, S.** 1997. Transforming growth factor- β receptor type I and II expression during murine hair follicle development and cycling. – J. Invest. Dermatol. 109: 518-526.
- Prum, R.O.** 1999. Development and evolutionary origin of feathers. – Journal of Experimental Zoology 285: 291–306.
- Randall, V.A.** 2007. Hormonal regulation of hair follicles exhibits a biological paradox. – Seminars in Cell and Developmental Biology 18: 274–285.
- Reynolds, A.J. and Jahoda, C.A.B.** 1993. Hair fibre progenitor cells: developmental status and interactive potential. – Seminars in Dev. Biol. 4: 241-250.
- Rogers, G.E.** 2004. Hair follicle differentiation and regulation. – Int. J. Dev. Biol. 48: 163-170.

- Stenn, K.S. and Paus, R.** 2001. Controls of hair follicle cycling. – *Physiological Reviews* 81: 449-494.
- Stettenheim, P.R.** 2000. The integumentary morphology of modern birds- An overview. – *Amer. Zool.* 40: 461-477.
- Taylor, G., Lehrer, N.S., Jensen, P.J., Sun, T.T. and Lavker, R.M.** 2000. Involvement of follicular stem cells in forming not only the follicle but also the epidermis. – *Cell* 102: 451-461.
- Tuhkanen, A.L., Agren, L.M., Tammi, M.I. and Tammi, R.H.** 1999. CD44 expression marks the onset of keratinocyte stratification and mesenchymal maturation into fibrous dermis in fetal human skin – *The Journal of Histochemistry & Cytochemistry* 47: 1617-1624.
- Widelitz, R.B., Jiang, T.X., Noveen, A., Ting-Berreth, S.A., Yin, E., Jung, H.S. and Chuong, C.M.** 1997. Molecular histology in skin appendage morphogenesis. – *Microscopy Research and Technique* 38: 452-465.
- Wu, P.L., Plikus, M., Hughes, M., Scehet, J., Suksaweang, S., Widelitz, R.B., Widelitz, T.X. and Chuong, C.M.** 2004. Evo-devo of amniote integuments and appendages. – *Int. J. Dev. Biol.* 48: 249-270.
- Wu, W., Xu, R.F., Guo, X., Li, C.H. and Wu, C.X.** 2008. Characterization of embryonic feather follicle development in the chinese indigenous jilin white goose. – *Asian-Aust. J. Anim. Sci.* 21: 346-352.
- Xu, Y.L., Sun, J.G. and Xi, Y.M.** 2011. Investigation of characteristics of Feather follicle stem cells and their Regeneration potential. – *Journal of Stem Cells and Regenerative Medicine* 7: 69-74.
- Yu, M., Wu, P., Widelitz, R.B. and Chuong, C.M.** 2002. The morphogenesis of feathers. – *Nature* 420: 308-312.
- Yu, M., Yue, Z., Wu, P., Wu, D.Y., Mayer, J., Medina, M., Widelitz, R.B., Jiang, T.X. and Chuong, C.M.** 2004. The developmental biology of feather follicles. – *Int. J. Dev. Biol.* 48: 181-191.
- Yue, Z., Jiang, T.X., Widelitz, R.B. and Chuong, C.M.** 2005. Mapping stem cell activities in the feather follicle. – *Nature* 458: 1026-1029.
- Zhang, L., Nie, Q., Su, Y., Xie, X., Luo, W., Jia, X. and Zhang, X.** 2013. MicroRNA profile analysis on duck feather follicle and skin with high-throughput sequencing technology. – *Gene* 519: 77-81.